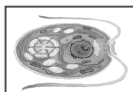


Analýza reparačne - deficitných mutantov *Chlamydomonas reinhardtii*



Andrea Ševčovičová



Katedra genetiky, Prírodovedecká fakulta UK, sevcovicova@fns.uniba.sk

Poškodenie DNA

Indukcia DNA poškodenia: endogénne a exogenné vplyvy (produkty bunkového metabolismu, chemické mutagény, kyslíkové radikály, UV žiarenie, ionizačné žiarenie, atď.)

Účinok na bunku:

- cytotoxický
- mutagénny
- zastavanie bunkového cyklu

Následky:

- karcinogenéza
- stárnutie

Odpoveď bunky na poškodenie DNA

Priama oprava DNA poškodenia

- Enzymatická fotoreaktívacia
- Oprava spórových fotoproduktov
- Oprava alkylovaných báz a alkylfosfotriesterov pomocou alkyltransferázy
- Ligácia zlomov reťazcov DNA

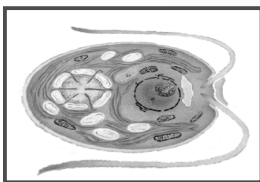
Excízia DNA poškodenia

- Bázová excízna oprava
- Nukleotídová excízna oprava
- Oprava chybne spárovaných báz

Tolerovanie poškodenia DNA

- Obidenie poškodeného úseku DNA s vytvorením medzery a rekombiнациou
- Transízna syntéza DNA

Reparačné mechanizmy *C. reinhardtii*



Na základe citlivosti k UV žiareniu - uvs mutanty.

Reparačné mechanizmy *C. reinhardtii*

fotoreaktivácia: *phr1, phr2*

excízna oprava: *uvr1, uvr6, uvr9, uvr12, uvr15*

mismatch oprava: *uvr14* ?

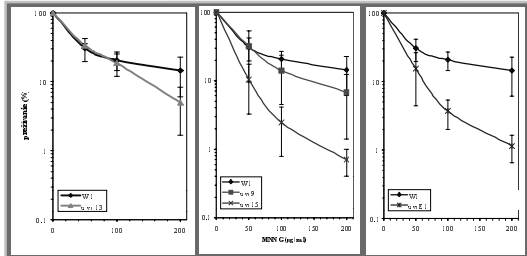
rekombinačná oprava: *uvrE1, uvrE5, uvrE6, uvr10*

neurčená reparačná dráha: *uvr8, uvr11, uvr13, uvrX1, uvrX2*

Ciele práce

- Analýza reparačne-deficitných mutantov *Chlamydomonas reinhardtii*
- Prepojenie opravy DNA s inými procesmi v bunke
- Transformácia jadrového genómu *Chlamydomonas reinhardtii*

Analýza reparačne-deficitných mutantov *Chlamydomonas reinhardtii*



Prežívanie štandardného a reparačne-deficitných kmeňov *C. reinhardtii* po pôsobení MNNG

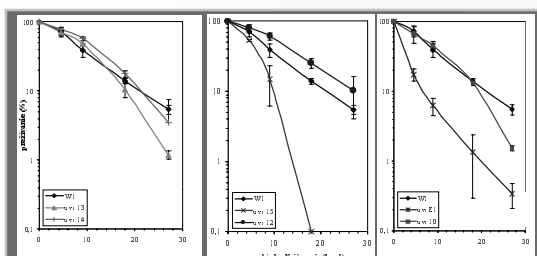
Analýza reparačne-deficitných mutantov *Chlamydomonas reinhardtii*

Mutabilita štandardného a reparačne - deficitných kmeňov *C. reinhardtii* po pôsobení MNNG

Dávka	W1	uvs9	uvsE1	uvs13	uvs15
K	0,385	0	2,03	4,24	0
50	18,6	4,98	6,84	11,5	2,85
100	24,66	3,64	23,92	32,73	1,1
200	42,6	28,32	58,7	60,76	3,3

* dávka sa udáva v ($\mu\text{g}/\text{ml}$)

Analýza reparačne-deficitných mutantov *Chlamydomonas reinhardtii*



Prežívanie štandardného a reparačne-deficitných kmeňov *C. reinhardtii* po pôsobení X-žiarenia

Poznámka: 1 Rad = 10^{-2} Gy

Analýza reparačne-deficitných mutantov *Chlamydomonas reinhardtii*

Mutabilita štandardného a reparačne-deficitných kmeňov *C. reinhardtii* po pôsobení X-žiarenia

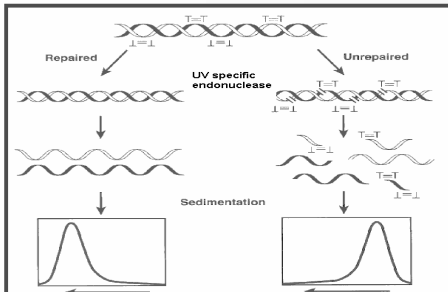
Dávka	W1	uvsE1	uvs10	uvs12	uvs13	uvs14	uvs15
K	0,5	1,15	1,15	0,4	0,52	4,21	0
4,5	4,6	37,9	20,06	0	5,8	11,86	0
9	4,8	100,88	13,06	0,5	11,23	11,42	0
18	2,5	37,3	7,5	0,5	7,95	5,35	0
27	0	3,04	2,33	0	4,85	3,6	0

* dávka sa udáva v krad

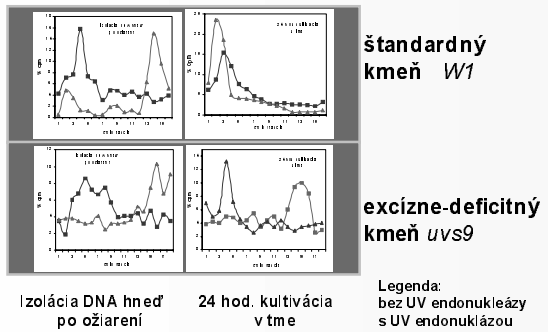
Poznámka: 1 Rad = 10^{-2} Gy

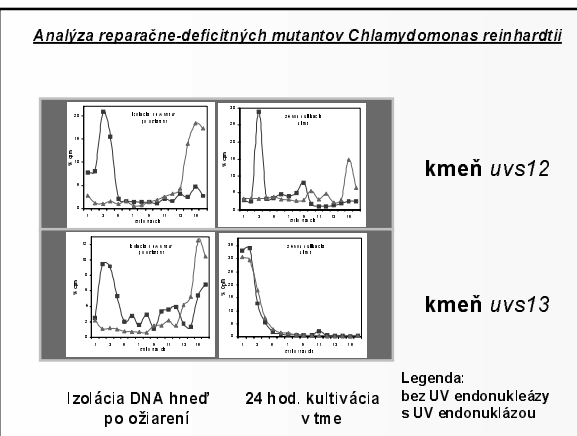
Analýza reparačne-deficitných mutantov *Chlamydomonas reinhardtii*

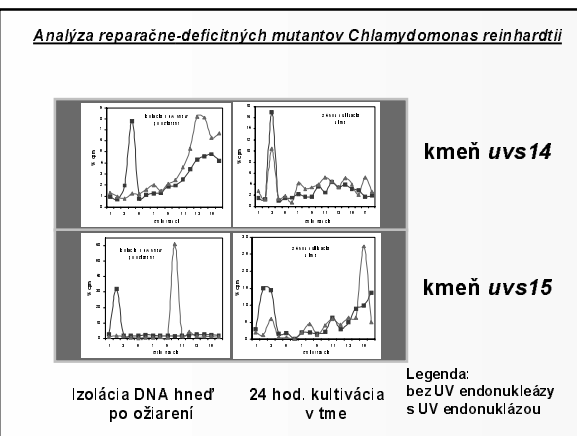
Molekulárna analýza vyštiepovania pyrimidínových dimérov



Analýza reparačne-deficitných mutantov *Chlamydomonas reinhardtii*







Analýza reparačne-deficitných mutantov *Chlamydomonas reinhardtii*

Genetická analýza

Križenie	Tetrádová analýza	Analýza zygôt	Záver
<i>uvs1 x uvs9</i>	+		+
<i>uvs1 x uvs12</i>	+	+	+
<i>uvs1 x uvs15</i>	+	+	+
<i>uvs1 x uvs351</i>	+		+
<i>uvs1 x uvs371</i>	-	-	-
<i>uvs9 x uvs12</i>	+		+
<i>uvs9 x uvs15</i>	+	+	+
<i>uvs9 x uvs351</i>	-	-	-
<i>uvs12 x uvs15</i>	-	+	+
<i>uvs12 x uvs351</i>	+		+
<i>uvs15 x uvs351</i>	+	+	+
<i>uvs15 x uvs371</i>	+	+	+
<i>uvs351 x uvs371</i>	+	+	+

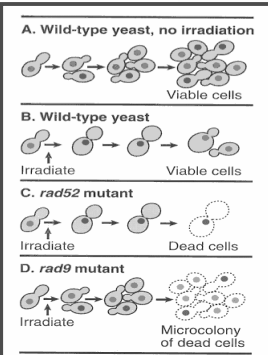
V tejto skupine mutantov s poruchou excíznej opravy ide o 4 samostatné gény určujúce citlivosť k UV žiareniu.

Prepojenie opravy DNA s inými procesmi v bunke

uvs11

- zvýšená citlosť k UV a MNNG v porovnaní so štandardným kmeňom, zvýšená mutabilita
- pri mikroskopickom hodnotení prežívania po pôsobení UV-žiarenia vykazoval významné zvýšenie frekvencie bunkiek odumierajúcich po jednom alebo viacerých deleniacach v porovnaní s ostatnými kmeňmi
- podobnosť s *rad9* mutáciou pri *S. cerevisiae*

Prepojenie opravy DNA s inými procesmi v bunke

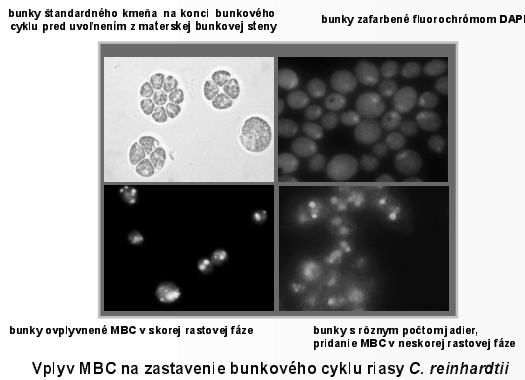


- wt**
- po ovplyvnení X-žarením bunky zastavia bunkový cyklus - čas na opravu DNA poškodení
- rad9**
- po ovplyvnení X-žarením bunky pokračujú v delení a po niekol'kych deleniacach odumierajú
 - po zastavení bunkového cyklu pomocou MBC vykazovali prežívanie na úrovni štandardného kmeňa
 - esenciálne pre zastavenie bunkového cyklu v G2 fáze

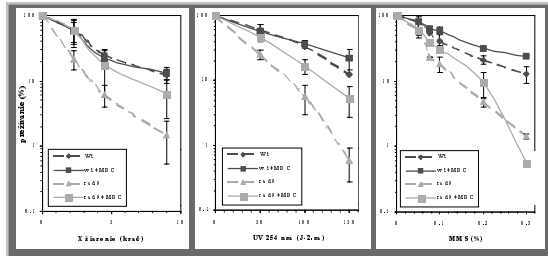
Prepojenie opravy DNA s inými procesmi v bunke

- Zistiť pravdepodobnú úlohu *UVS11* génu v regulácii a jeho vplyv na opravné procesy v bunke.
- Sledovať možnú analógiu funkcie *RAD9* génu pri kvasinkách *S. cerevisiae* a *UVS11* génu pri riasach *C. reinhardtii*.

Prepojenie opravy DNA s inými procesmi v bunke



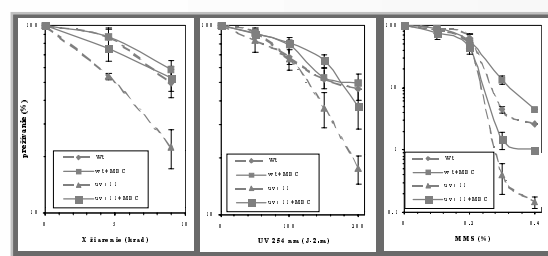
Prepojenie opravy DNA s inými procesmi v bunke



Prežívanie štandardného a *rad9* kmeňa *S.cerevisiae* po pôsobení UV-, X-žiarenia a MMS s a bez MBC

Poznámka: 1 Rad = 10^2 Gy

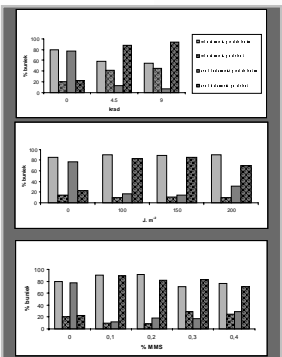
Prepojenie opravy DNA s inými procesmi v bunke



Prežívanie štandardného a *uvs11* mutanta *C.reinhardtii* po pôsobení UV-, X-žiarenia a MMS s a bez MBC

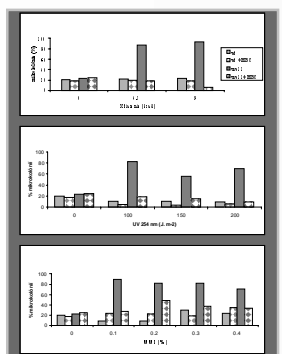
Poznámka: 1 Rad = 10^2 Gy

Prepojenie opravy DNA s inými procesmi v bunke



Pomer počtu buniek odumretých pred delením k počtu buniek, ktoré sa pred odumretím aspoň jedenkrát rozdelia po pôsobení UV-, X-žiarenia a MMS

Prepojenie opravy DNA s inými procesmi v bunke



Vplyv MBC na počet mikrokolónii štandardného kmeňa a *uvs1* mutanta po pôsobení UV-, X-žiarenia a MMS

Transformácia jadrového genómu *C. reinhardtii*

Podmienka pre napredovanie štúdia v oblasti reparačných mechanizmov *C. reinhardtii*

Tri metódy na zavedenie DNA do jadra *C. reinhardtii*:

1. Bombardovanie
2. Elektroporácia
3. Pretrepávanie v prítomnosti polyetylénglykolu a sklených guličiek

Transformácia jadrového genómu C. reinhardtii

Plazmid: pArg7.8

Transformované kmene: cw15arg7.8
arg7.8

Odstránenie bunkovej steny: pomocou gametického lytickeho enzymu autolyzínu

Transformácia jadrového genómu C. reinhardtii

Sledovali sme vplyv nasledovných parametrov na úspešnosť transformácie:

- čistota plazmidovej DNA
- molekulová hmotnosť polyetylénglykolu
- typ sklených guličiek
- genotyp recipientného kmeňa
- čas ovplyvnenia.

Transformácia jadrového genómu kmeňa cw15arg7.8

pDNA sklenené guličky	PEG6000		PEG8000	
	Účinnosť transformácie (x 10 ⁻⁶)			
I	1. 0,35	6,8		
	2. 1,7	0,73		
II	1. 1,7	15,9		
	2. 1,05	2,9		
III	1. -	0,6		

Transformácia jadrového genómu kmeňa *arg7.8*

sklenené guličky	pDNA	PEG8000
		Účinnosť transformácie ($\times 10^{-5}$)
1.	I	1,16
	II	0,23
	III	0,12

Závery

- všetky testované reparačne-deficitné kmeňe sú citlivejšie na pôsobenie MNNG v porovnaní so štandardným kmeňom
- zvýšená citlivosť k MNNG pri mutantovi *uvSE1* s poruchou rekombináčnej reparačnej dráhy naznačila, že rekombináčny reparačný mechanizmus hrá úlohu pri oprave porúch spôsobených týmto alkylačným agensom
- pri kmeňoch *uvS9* a *uvS15* s poruchou excíznej opravy, sme zistili zníženú frekvenciu mutácií vedúciach k streptomycinovej rezistencii indukovaných MNNG v porovnaní so štandardným kmeňom. Pozorované zníženie mutability týchto kmeňov naznačuje čiastočnú odlišnosť vo vzťahu k presnosti opravy po pôsobení MNNG medzi fotoautotrofnými a heterotrofnými organizmami

- väčšina testovaných reparačne-deficitných mutantov je citlivejšia na pôsobenie X-žiarenia ako štandardný kmeň
- znížené prežívanie a zvýšené frekvencie mutácií po pôsobení X-žiarenia oproti štandardnému kmeňu pri kmeňi *uvSE1* naznačuje, že pri riasach *C. reinhardtii* hrá rekombináčna reparačná dráha dôležitú úlohu pri odstraňovaní poškodenia indukovaného X-žarením a že táto reparačná dráha je presná (error-free)
- najcitlivejší testovaný kmeň *uvS15* vykazuje podobnosť s *rad6* mutantom *S. cerevisiae* s rozhodujúcou úlohou v mutagénnej epistatickej skupine
- molekulárna analýza potvrdila poruchu vo vyštiepovaní pyrimidínových dimérov pri kmeňoch *uvS15* a *uvS12*, pri kmeňoch *uvS13* a *uvS14* nebola potvrdená porucha vo vyštiepovaní pyrimidínových dimérov

- výsledky molekulárnej a mutačnej analýzy naznačili, že pri kmeni *uvr15* by mohlo ísť o mutáciu v géne s pleiotropným účinkom
- z výsledkov genetickej analýzy vypĺýva, že v rámci skupiny mutantov s poruchou exciznej opravy ide pravdepodobne o 4 rôzne gény určujúce citlivosť k UV žiareniu
- dokázali sme zvýšenú citlivosť *uvr11* mutanta *C. reinhardtii* na pôsobenie UV-, X-žiarenia a MMS
- dokázali sme zastavenie bunkového cyklu pomocou MBC viedie k zvýšeniu prežívania a k zníženiu počtu mikrokolónii pri *uvr11* mutantovi rias *C. reinhardtii* po pôsobení UV, X-žiarenia a MMS

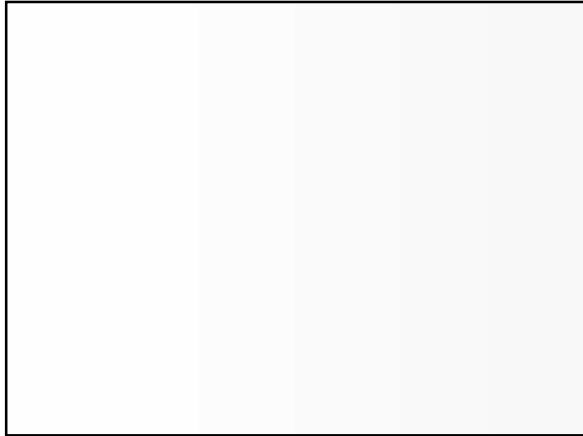
- Uskutočnili sme transformáciu jadrového genóm u dvojitého mutanta *arg7cw15* *C. reinhardtii* plazmidom pARG7.8 nesúcim funkčný gén pre argininsukinátidylázu metodou využívajúcou sklené guličky a PEG. Dosiahli sme účinnosť transformácie v rozmedzí $0,35 \times 10^{-6}$ až $15,9 \times 10^{-6}$ /bunku.
- Pri kmeni *cc51* *C. reinhardtii* sme dosiahli účinnosť transformácie v rozmedzí $0,12 \times 10^{-6}$ až $1,16 \times 10^{-6}$ /bunku.
- Zistili sme, že na účinnosť transformácie vplýva viacero parametrov: čistota plazmidovej DNA, koncentrácia a molekulová hmotnosť polyetylénglykolu, genotyp recipientného kmeňa, čas ovplyvnenia.

Poděkovanie

Práca vznikla pod vedením Prof. RNDr. Daniela Vlčka, DrSc., v spolupráci s:

- Oddelenie molekulárnej genetiky ÚEO SAV
- Slovenský metrologický ústav v Bratislavě
- Oddelenie molekulárnej biológie Univerzity v Ženeve

Moje osobitné poděkování patří kolektívu pracovníků Katedry genetiky Prírodovedeckej fakulty UK v Bratislavě.



NHEJ - priame spojenie zlomov

- vyžaduje len malú (2-20 bp) alebo žiadnu sekvenčnú homológiu na DNA koncoch
- môže byť error-free aj error-prone
- prevláda pri oprave DSBs u cicavcov, kde sa na nej zúčastňuje DNA ligáza IV a s ňou asociovany proteín XRCC1 a 3 podjednotky na DNA závislého proteín-kinázového komplexu (DNA-PK) -Ku70 (XRCC6), Ku80 (XRCC5) a katalytická podjednotka DNA-PKcs (XRCC7)

Princíp: DNA-PK sa viaže na konce DNA a stimuluje DNA-ligázovú aktivitu komplexu DNA-ligáza IV-XRCC4

pri kvasinkách:
HDF1 (yKu70p), HDF2 (yKu80p) - komplex zodpovedný za prepojenie DNA koncov
RAD50, MRE11, XRS2 - komplex zodpovedný za nukleolytický processing DNA koncov
DNL4 - homológ ľudskej DNA ligázy IV SIR2, SIR3, SIR4

Mutabilita štandardného a reparačne-deficitných kmeňov *C. reinhardtii* po pôsobení X-žiarenia

Dávka / kmeň	<i>W1</i>	<i>uvsE1</i>	<i>uvs10</i>	<i>uvs12</i>	<i>uvs13</i>	<i>uvs14</i>	<i>uvs15</i>
K	0,5±0,4	1,15±0,76	1,15±0,9	0,4±0,63	0,52±0,5	4,2±3,35	0±0
4,5	4,6±2,66	37,9±26,73	20,06±13,86	0±0	5,0±5,2	11,86±5,01	0±0
9	4,8±1,98	100,88±53,1	13,06±7,18	0,5±1,15	11,23±4,8	11,42±6,98	0±0
18	2,5±1,16	37,3±18,27	7,5±3,81	0,5±0,93	7,95±6,7	5,35±4,03	0±0
27	0±0	3,04±6,5	2,33±1,68	0±0	4,85±5,25	3,6±3,49	0±0

Frekvencia priamych mutácií vedúcich k rezistencii na streptomycin pri reparačne-deficitných kmeňoch *C. reinhardtii* po pôsobení X-žiarenia (počet mutantov na milión prežívajúcich buniek).
